

تأثیر هوازدگی بر کانی‌شناسی و ژئوشیمی گرانیت‌وئیدهای ده نو (شمال شرق الیگودرز)

عاطفه سادات محمدی^{*}، محمود خلیلی^۱، مهین منصوری اصفهانی^۲

۱- گروه زمین‌شناسی، دانشکده علوم، دانشگاه اصفهان

۲- دانشکده معدن، دانشگاه صنعتی اصفهان

(دریافت مقاله: ۱۳۹۸/۴/۳۱، نسخه نهایی: ۱۵/۳/۸۹)

چکیده: گرانیت‌وئیدهای منطقه‌ی ده نو، واقع در حدود ۲۰ کیلومتری شمال شرقی الیگودرز یکی از چهار توده‌ی مجرای پلوتونیک‌های الیگودرز است که در پهنه‌ی سنندج - سیرجان رخنمون دارد. این سنگ‌ها که شامل گرانوپوریت و تونالیت است با آرن‌های گرانیتی پوشیده شده‌اند. بیشتر کانی‌های این سنگ‌ها را پلازیوکلаз، کوارتز، بیوتیت و مسکوکیت همراه با کانی‌های فرعی اسفن، آپاتیت، اپیدوت، زیرکن، روتیل و کانی‌های تیره تشکیل می‌دهند. با استفاده از معادله $\text{change} = \frac{[(R_p - R_w) / R_p]}{100}$ درصد تغییرات عناصر در نمونه‌های تازه و هوازده تعیین و سپس با یکدیگر مقایسه شدن. بر اساس این معادله در سنگ هوازده عناصری همچون Si, Al, Na, Sr, K, P, Ba, Rb, Zr, Ta, Fe³⁺, Nb, Y, U, Ca, Fe²⁺, Hf و سپس Y و Ta در عمق نوسان چندانی از خود نشان نمی‌دهند. در الگوی بهنجار شده عناصر نادر به کندریت شبیه نزولی وجود دارد و مقادیر REE's نسبت به HREE's غنی شدگی نشان می‌دهد. غلظت کل این عناصر در فراورده‌های هوازده بیشتر از سنگ بستر است که دلیل آن را می‌توان به فرایند جذب سطحی با کانی‌های رسی نسبت داد. در نمونه‌های منطقه‌ی مورد بررسی Eu آنومالی مثبت اندکی نشان می‌دهد. تهی شدگی در Eu می‌تواند در نتیجه‌ی دگرسانی فلدوپات‌ها ایجاد شود.

واژه‌های کلیدی: نیمرخ هوازدگی، ژئوشیمی، عناصر نادر خاکی، گرانیت ده نو، الیگودرز.

مقدمه

کانی‌ها را تغییر می‌دهد، که سرعت و ماهیت این هوازدگی با عواملی چون نوع سنگ مادر، توبوگرافی منطقه، آب و هوا و فعالیت‌های زیستی کنترل می‌شود. چگونگی تحرک و توزیع عناصر نادر در جریان فرایند هوازدگی به خوبی شناخته نشده است، زیرا این عناصر تحت تأثیر فرایندهای انحلال کانی‌های اولیه و تشکیل فازهای ثانویه، واکنش‌های اکسایشی - احیا، انتقال مواد و تبادل یونی کانی‌های گوناگون قرار می‌گیرند [۲]. هدف از این پژوهش تأثیر هوازدگی بر کانی‌های متشکله گرانیت‌های منطقه‌ی مورد بررسی و نیز چگونگی رفتار عناصر،

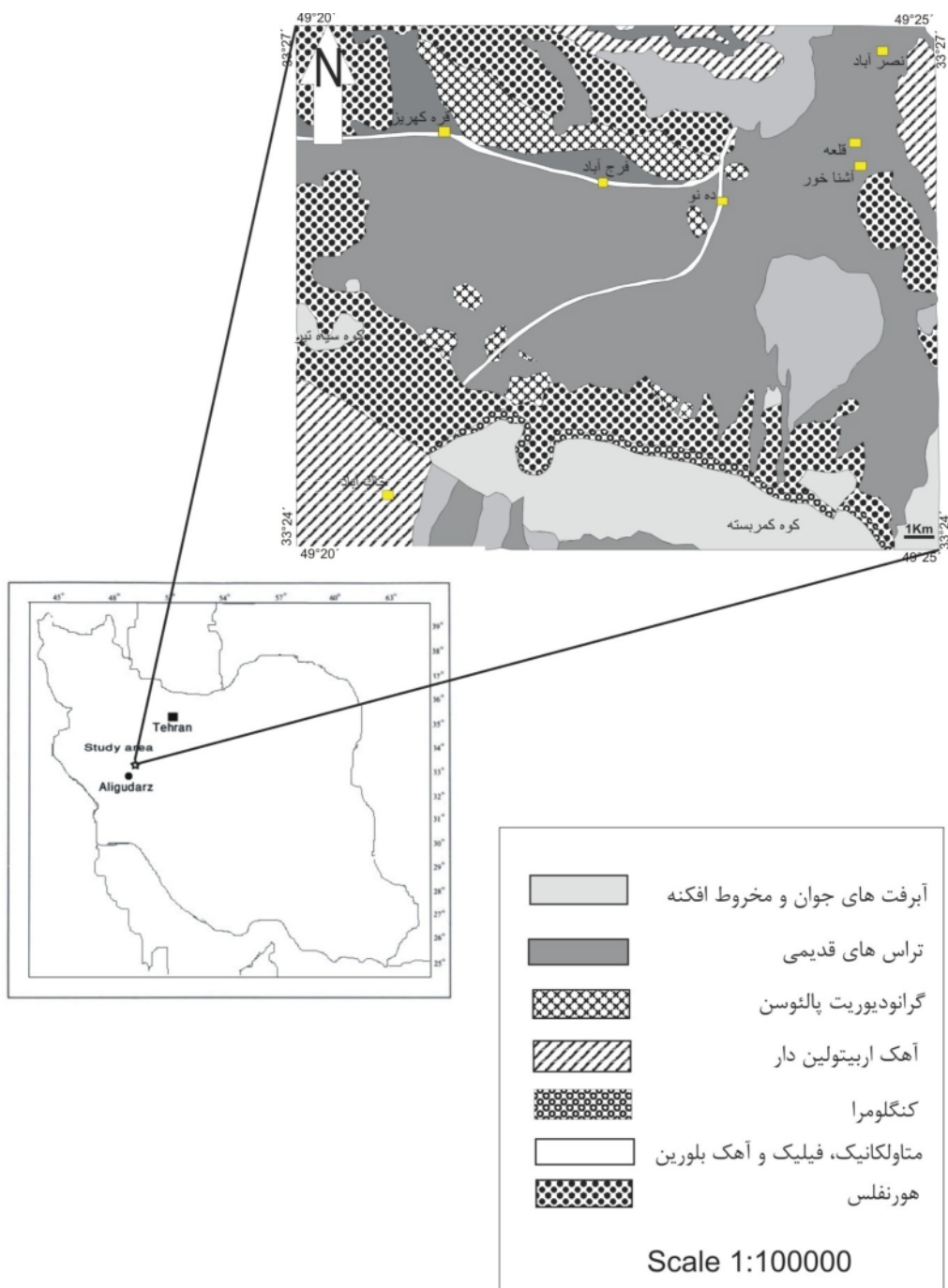
رخنمونهای گرانیتی معمولاً به لحاظ شکنندگی و خرد شدگی حاصل از فرایندهای زمین‌ساختی تحت تأثیر هوازدگی فیزیکی به گرواحای گرانیتی و یا گرانیت‌های آرنی شده تبدیل می‌شوند. این فراوردهای هوازده با آبهای جاری تخریب و حمل شده و ضمن جورشدگی در مسیر این گونه آبهای، لابهای کوارتزی و کم و بیش فلدوپاتی و نیز لایه‌هایی از رس‌های آبرفتی تشکیل می‌دهند [۱].

افزون بر هوازدگی فیزیکی، فرایندهای شیمیایی نیز سرشت

ناحیه‌ی مورد بررسی از لحاظ تقسیمات زمین‌شناسی ایران جزئی از پهنه‌ی سندج-سیرجان و از نظر جغرافیایی بخشی از شهرستان خمین و دهستان آشناخور است (شکل ۱). این منطقه با دو گسل شامل راندگی زاگرس مرتفع و گسل معکوس زاگرس به سه زون متفاوت چینه‌شناسی قابل تقسیم است.

خاصه عناصر نادر در فراورده‌های هوازده این سنگ‌ها نسبت به نمونه‌های تازه است.

موقعیت جغرافیایی و زمین‌شناسی منطقه‌ی مورد بررسی
منطقه‌ی ده نو در گستره‌ی عرض‌های جغرافیایی $33^{\circ} 24'$ تا $33^{\circ} 27'$ و طول‌های $49^{\circ} 20'$ تا $49^{\circ} 25'$ در حدود ۲۰ کیلومتری شمال شرقی شهرستان الیگودرز واقع شده است.



شکل ۱ شمایی از نقشه‌ی زمین‌شناسی منطقه‌ی مورد بررسی از سهیلی و همکاران (۱۳۷۱) [۵].

همچنین روی ۷ نمونه‌ی منطقه در آزمایشگاه مرکزی دانشگاه اصفهان آنالیز XRD صورت گرفت. برای تعیین میزان FeO و Fe_2O_3 از نمودار [۵] استفاده شد. نتایج این آنالیزها در جدول ۱ را ارائه شده‌اند.

سنگ نگاری

از دیدگاه کلی بخش عمده‌ی سنگ‌های نفوذی منطقه‌ی مورد بررسی از نظر سنگ‌شناسی در گستره‌ی گرانودیوریت تا تونالیت قرار می‌گیرند. این سنگ‌ها در ابعاد درشت دانه تا متواتراند. کانی‌شناسی این سنگ‌ها شامل کوارتز، پلازیوکلاز، فلدسپات پتاسیم‌دار (بیشتر از نوع میکروکلین)، بیوتیت، مسکوکیت (شکل ۲-الف)، و نیز کانی‌های فرعی زیرکن (شکل ۲-ب)، روتیل و آپاتیت و کانی‌های ثانویه‌ی اپیدوت، کلریت و کانی‌های کدر هستند. بافت اصلی این سنگ‌ها دانه بوده و نیز بافت‌های پوئی کلیتیک و میرمیکیتی در آن‌ها مشاهده می‌شود. در این سنگ‌ها دگرسانی‌های کلریتی (شکل ۲-ب)، سریسیتی و سوسوریتی شدن (شکل ۲-ت، ث و ج) روی کانی‌هایی از قبیل پلازیوکلاز به چشم می‌خورد. در بخش‌هایی از سنگ‌های منطقه بلورهای آندالوزیت به چشم می‌خورد. همچنین رگه‌های کوارتز - تورمالین در حواشی منطقه قابل رویت‌اند.

کانی کلریت حاصل از دگرسانی بیوتیت است که گاهی با تشکیل اسفن همراه بوده و نیز مسکوکیت حاصل از تجزیه بیوتیت نیز در جوار بیوتیت‌ها مشاهده می‌شود. پلازیوکلازهایی که به حالت منطقه‌بندی دیده می‌شوند، در راستای مناطق کلسیک دستخوش تجزیه شده‌اند (شکل ۲-ث). فلدسپار قلیایی نیز به صورت تجزیه شده وجود دارد. همچنین کانی‌هایی از قبیل زوئیزیت - کلینوزوئیزیت و کلریت نیز حاصل دگرسانی پلازیوکلاز کلسیم‌دار طی پدیده‌ی سوسوریتی شدن مشخص‌اند. نتایج حاصل از آنالیز شیمیایی به‌روش XRD بر نوع کانی‌های اولیه کانی‌های دیگری چون کلینوکلر، کلسیت، هالویسیت و مونت موریلوبنیت را که حاصل فرایند دگرسانی هستند در تعدادی از نمونه‌ها مشخص کرده است. کانی زیرکن نیز با دو خاستگاه متفاوت به‌صورت اولیه و شکلدار و نیز به صورت گزnomorf و بی‌شکل دیده می‌شود. در برخی نمونه‌ها سریسیت‌های حاصل از تجزیه پلازیوکلاز درشت‌تر شده و مسکوکیت‌های ثانویه را تشکیل داده‌اند.

پهنه‌ی سندج - سیرجان کناره‌ی جنوب باختری ایران مرکزی را تشکیل می‌دهد و از شمال خاوری به جنوب باختری به سه زون تقسیم می‌شود:

- زون فرعی مزوژوئیک داخلی، - زون فرعی بلندی‌های دیرین میانی، - زون فرعی حاشیه‌ای مزوژوئیک.

منطقه‌ی مورد بررسی در گستره‌ی نقشه‌ی ۱:۱۰۰۰۰۰ [۳]. در گستره‌ی نقشه‌ی ۱:۱۰۰۰۰۰ [۳]، زون فرعی مزوژوئیک داخلی در سنگ‌های آذرین درونی رخمنون یافته، که این سنگ‌ها امروزه به صورت چهار توده‌ی مجزا هستند، بزرگترین این توده‌ها گرچه امروزه در شمال الیگودرز در نظر گرفته می‌شود، ولی احتمال می‌رود توده‌ای که در شمال شرقی به عنوان ده نو شناخته شده است در اصل بزرگترین توده بوده و سطح گسترده‌ای از بروزند آن با آرن‌های گرانیتی حاصل از دگرسانی خود توده پوشیده شده است. سنگ‌های گرانیت‌وئیدی این منطقه را بیشتر تونالیت و گرانودیوریت دو میکابی تشکیل می‌دهد و به اعتقاد رجائیه (۱۳۸۴) مامگای مولد این سنگ‌ها از نوع دورگه‌ای (Hs) است [۴].

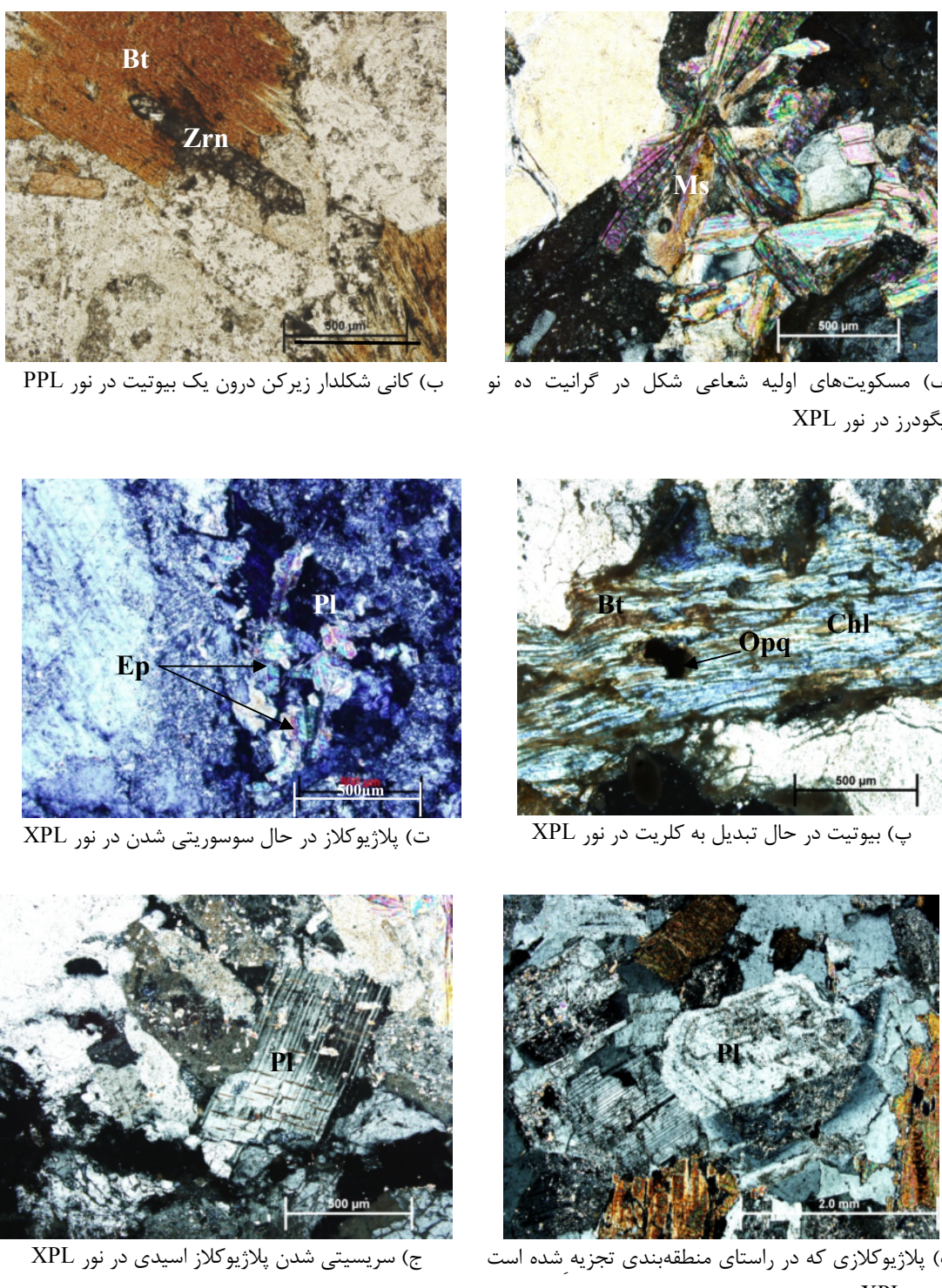
توده‌های نفوذی مورد بحث در شیل‌ها و ماسه سنگ‌های تریاس بالایی - ژوراسیک زیرین نفوذ کرده و پیرامون هر یک متناسب با حجم آن توده‌ی نفوذی هاله‌ی دگرگونی ایجاد شده است. رسوبات کرتاسه زیرین با پی‌سنگ کنگلومراپی، این رسوبات را به صورت ناهمساز می‌بوشند. این توده‌ها پس از کرتاسه جایگرین شده است و علت عدم قطع شدگی رسوبات کرتاسه با این توده‌های گرانیتی و یا ضمایم آن‌ها فقط ضخامت زیاد رسوبات ژوراسیک بوده که توانسته میدان عمل توده‌های پاد شده را کنترل کند.

روش انجام کار

به‌منظور بررسی تاثیر هوازدگی بر روی ژئوشیمی و کانی‌شناسی گرانیت‌وئیدهای ده نو در دو نیمرخ نمونه برداشی صورت گرفت. این دو نیمرخ از بین چاههای حفر شده در منطقه که در گذشته از آن‌ها برای تأمین آب شرب استفاده می‌شده، انتخاب شدند. نمونه‌ها از عمق ۰,۱، ۰,۵، ۱,۵، ۲,۵ متر برداشت شد. حداقل عمق چاهها تا سنگ بستر ۲,۵ متر بود. نمونه از نمونه‌های انتخاب شده در آزمایشگاه ALS Chemex کانادا و آزمایشگاه کانپژوه تهران مورد آنالیز ICP-MS قرار گرفتند.

جدول ۱ نتایج آنالیز ICP-MS در نمونه‌های تازه و هوازده وابسته به منطقه ده نو.

شماره نمونه ها	Ha پروفیل				Hb پروفیل			
	نمونه های هوازده			نمونه تازه	نمونه های هوازده			نمونه تازه
	Ha ₁	Ha ₃	D ₁	P ₁	Hb ₁	Hb ₃	D ₂	P ₂
عمق نمونه برداری (m)	.۵	۱.۵	.۱	۲.۵	.۵	۱.۵	.۱	۲.۵
SiO ₂ (%wt)	۴۸.۳	۵۹.۴	۶۳.۹	۶۹.۲	۳۵.۴	۳۵.۷	۶۶.۷	۶۹.۰
TiO ₂	۰.۳۷	۰.۳۹	۰.۵۸	۰.۲۲	۰.۵۲	۰.۲۳	۰.۴۴	۰.۲۳
Al ₂ O ₃	۱۱.۰۵	۱۱.۹۵	۱۵.۴۷	۱۳.۵۵	۱۱.۰۰	۱۰.۸۵	۱۳.۶۲	۱۳.۵۵
FeO	۱.۹	۱.۸۶	۳.۱۶	۱.۱۸	۳.۰۱	۲.۸۵	۲.۳۳	۱.۳۰
Fe ₂ O ₃	۱.۱۷	۱.۴۶	۲.۱۰	۱.۱۰	۱.۶۳	۱.۵۵	۱.۱۵	۱.۲۸
MnO	۰.۰۴	۰.۰۴	۰.۰۹	۰.۰۴	۰.۰۹	۰.۰۷	۰.۰۷	۰.۰۵
MgO	۱.۷۷	۱.۶۷	۲.۰۲	۰.۶۰	۲.۷۸	۲.۷۳	۱.۶۱	۰.۶۳
CaO	۱۵.۰۵	۸.۰۰	۱.۸۷	۲.۳۶	۱۹.۷۰	۱۹.۹۵	۲.۸۶	۲.۱۷
Na ₂ O	۱.۶۴	۱.۸۵	۱.۸۶	۲.۵۵	۰.۵۷	۰.۵۹	۱.۹۷	۲.۵۳
K ₂ O	۲.۲۷	۲.۶۳	۳.۰۷	۳.۶۹	۱.۶۴	۱.۶۶	۲.۹۷	۴.۲۹
P ₂ O ₅	۰.۱۳	۰.۱۲	۰.۱۰	۰.۲۳	۰.۰۸	۰.۰۸	۰.۱۰	۰.۲۸
Ba(ppm)	۲۲۳	۲۶۲	۳۳۲	۱۶۱.۵	۲۸۶	۲۷۶	۲۷۲	۱۶۸.۵
Th	۸.۷۶	۱۰.۰۵	۱۴.۴۱	۷.۱۰	۹.۰۱	۹.۰۷	۸.۵۹	۷.۶۶
Nb	۹.۸	۱۱.۲	۱۳.۴۴	۱۰.۳	۱۱.۰	۱۱.۳	۸.۰۲	۱۲.۰
Y	۱۵.۵	۱۷.۱	۳۱.۵۸	۱۱.۸	۱۸.۰	۱۷.۷	۱۹.۲۱	۱۲.۰
Hf	۳.۲	۳.۷	۴.۸۸	۲.۷	۳.۱	۳.۱	۲.۹۹	۲.۷
Ta	۱.۰	۱.۱	۱.۱۷	۱.۴	۰.۸	۰.۹	۰.۷۴	۱.۷
U	۱.۹۵	۱.۹۳	۱.۸۱	۱.۷۳	۲.۰۶	۲.۰۴	۱.۲۷	۱.۶۴
Pb	۱۵۸	۶۰.۸	۲۷.۳۲	۱۵۶	۲۱.۰	۱۲۵	۲۱.۱۲	۶۱۷
Rb	۱۲۶.۵	۱۵۲	۱۵۰	۲۲۹	۸۱.۱	۸۱.۹	۱۳۵.۲	۲۴۵
Cs	۱۲.۹۵	۱۴.۰۵	۲۱.۸۹	۱۶.۹۰	۸.۳۷	۸.۵۵	۱۰.۰۰	۱۷.۶۵
Sr	۳۳۹	۲۱۱	۱۲۰	۹۲.۴	۳۸۲	۳۴۶	۱۲۰	۸۹.۶
Zr	۱.۰۸	۱۲۸	۱۶۵	۸۲	۱.۰۶	۱.۰۹	۱.۰۰	۸۳
La	۲۲.۵	۲۹.۹	۳۵.۹۹	۱۵.۹	۲۲.۸	۲۲.۴	۲۳.۸	۱۷.۱
Ce	۴۵.۵	۵۲.۳	۷۴.۰۸	۳۳.۵	۴۹.۶	۴۸.۶	۴۸.۱۴	۳۶.۱
Pr	۵.۰۸	۵.۹۲	۸.۴۴	۳.۷۳	۵.۳۷	۵.۳۷	۵.۴۶	۴.۰۲
Nd	۱۷.۹	۲۱.۱	۳۰.۹۶	۱۳.۰	۱۹.۵	۱۹.۲	۲۰.۱۴	۱۴.۳
Sm	۳.۵۳	۴.۲۸	۶.۵۱	۳.۰۵	۳.۸۹	۳.۸۱	۴.۲۲	۳.۲۷
Eu	۰.۷۳	۰.۷۶	۱.۱۲	۰.۵۶	۰.۸۵	۰.۸۶	۰.۸۷	۰.۵۷
Gd	۳.۷۴	۴.۳۰	۵.۸۵	۳.۲۱	۳.۹۹	۳.۹۵	۳.۷۹	۳.۵۸
Tb	۰.۵۴	۰.۶۳	۱.۰۰	۰.۵۰	۰.۶	۰.۵۸	۰.۶۲	۰.۵۵
Dy	۲.۹۹	۳.۲۷	۶.۰۰	۲.۵۶	۳.۴۵	۳.۵۰	۳.۷۰	۲.۷۶
Ho	۰.۵۵	۰.۶	۱.۲۰	۰.۴	۰.۶۸	۰.۶۹	۰.۷۴	۰.۴۱
Er	۱.۶۱	۱.۷۵	۳.۳۴	۱.۰۴	۱.۹۴	۱.۹۹	۱.۹۸	۱.۰۴
Tm	۰.۲۳	۰.۲۶	۰.۴۹	۰.۱۴	۰.۳۰	۰.۳۰	۰.۲۹	۰.۱۴
Yb	۱.۴۷	۱.۶۳	۳.۰۳	۰.۹۶	۱.۹۰	۱.۸۶	۱.۸۱	۰.۸۸
Lu	۰.۲۲	۰.۲۵	۰.۴۷	۰.۱۳	۰.۲۸	۰.۲۹	۰.۲۸	۰.۱۳



شکل ۲ تصاویر میکروسکوپی تعدادی از کانی‌های موجود در نمونه‌های گرانیتوئیدی نسبتاً سالم منطقه‌ی مورد بررسی.

دست داده و حالت شیری یافته‌اند و به نظر می‌رسد که به ورقه‌های سریسیت و کانی‌های رسی تبدیل شده‌اند. پدیده‌ی کاٹولینیتی یا سریسیتی شدن فلدسپات‌ها بستگی به ترکیب محلول‌هایی دارد که موجب هوازدگی می‌شوند. برای

بین کانی‌های سنگ‌های گرانیتوئیدی منطقه‌ی ده نو می‌توان به کانی‌های مقاوم کوارتر، زیرکن، اسفن و آپاتیت اشاره کرد. فلدسپات‌ها که بخش عمده‌ی کانی‌های سنگ‌ها را تشکیل می‌دهند در نتیجه‌ی هوازدگی حالت شفافیت بلورین خود را از

صورت اکسید یا هیدروکسید در ساختار کانی‌های رسی نفوذ کند. چنانکه در نیمرخ هوازدگی مورد بررسی دیده می‌شود، این دو اکسید بجز در بخش‌های سطحی نیمرخ که تحرک فازهای غنی از آلومینیوم می‌تواند به صورت انتخابی صورت گیرد در بخش‌های دیگر نسبتاً ثابت‌تند [۸]. با افزایش نرخ هوازدگی تحرک Al_2O_3 افزایش می‌یابد و از عمق به سمت بخش‌های سطحی، مقدار آن کاهش می‌یابد، و در نتیجه نسبت به سنگ SiO_2 بستر روندی کاهشی نشان می‌دهد (شکل ۳-الف). در هر دو نیمرخ روند یکسانی را نشان می‌دهد به این صورت که در هر دو نمونه نخست مقادیر آن کاهش یافته و سپس در عمق افزایش می‌یابد، ولی به طور کلی مقدار آن در مقایسه با سنگ مادر کاهش نشان می‌دهد، بنابراین شرایط برای تحرک این اکسید فراهم بوده است (شکل ۳-ب).

بررسی تغییرات K_2O , Na_2O

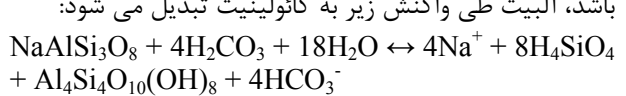
پتانسیم به دلیل شعاع یونی بزرگتر نسبت به سدیم به میزان کمتری در نتیجه هوازدگی آزاد شده و انتقال می‌یابد. بنابر تئوری ظرفیت انتقال کاتیون [۹] کاتیون‌های بزرگتر به صورت انتخابی روی کانی‌های رسی باقی می‌ماند. نسبت $\text{Na}_2\text{O}/\text{TiO}_2$ به سمت بالای نیمرخ کاهش می‌یابد که این حالت دلیلی بر تحرک سدیم طی هوازدگی است. کاهش در محتواهای سدیم و پتانسیم بازتابی از دگرسانی فلدوپات‌هاست. تنهی‌شدگی در میزان سدیم و پتانسیم تقریباً مشابه است یعنی سرعت هوازدگی فلدوپات‌سدهای پتانسیم یکسان بوده است (شکل ۳-پ). نسبت $\text{K}_2\text{O}/\text{TiO}_2$ نیز در ساپروولیت^۱ در مقایسه با گرانیت هوائزده کاهش یافته است که این می‌تواند بیانگر رفتار مشابه این نتایج می‌توان به تخریب پلاژیوکلاز سدیک و فلدوپات پتانسیم در اثر هوازدگی پی برد (شکل ۳-ت).

بررسی تغییرات P_2O_5 , CaO

اکسید کلسیم در نمونه‌های گرانیتی هوائزده و در ساپروولیت بیشتر در ساختار فسفات‌هایی چون آپاتیت حضور دارد و به صورت جزئی نیز می‌تواند در ساختار پلاژیوکلاز وجود داشته باشد [۸].

۱- سنگ بستر هوائزدهای که هنوز آثاری از ساخته‌های سنگ اولیه را نشان می‌دهد.

مثال آب‌های اسیدی بیشتر سبب کائولینیتی شدن و آب‌های قلیایی غالباً تمايل به تغییر شکل فلدوپات‌ها به سریسیت دارند [۱]. کانی‌های حاصل از تجزیه، بیشتر شامل کانی‌های رسی کائولینیت، مونت موریلونیت، ایلیت، کلریت، هماتیت و ... هستند، که طی یک رشته مبادله‌های شیمیایی از فلدوپات‌ها شکل می‌گیرند که سرعت جریان آب نقش بسیار مهمی دارد. به عنوان مثال چنانچه جریان از سرعت متوسطی برخوردار باشد، آبیت طی واکنش زیر به کائولینیت تبدیل می‌شود:



کائولینیت آلبیت

گاهی در سریسیت‌های یاد شده بجای کائولینیت، گیبسیت تشکیل می‌شود، ولی زمانی که سرعت جریان بسیار آهسته باشد، انتقال مواد از محل هوازده نیز آهسته صورت گرفته و منیزیم برای تشکیل مونت موریلونیت در دسترس قرار می‌گیرد [۱].

بر اساس مقایسه تركیب شیمیایی سنگ‌های اولیه و هوازده می‌توان رفتار عناصر را مورد بررسی قرار داد، در این راستا باید غنی‌شدگی و فقیرشدگی عناصر در سنگ‌های هوازده و یا دگرسان نسبت به سنگ اولیه سنجیده شود.

محاسبات تعادل جرمی

یکی از راه‌های بررسی و تعیین تغییرات شیمیایی حين هوازدگی، محاسبه‌ی غلظت عناصر در کانی‌های هوازده نسبت به کانی اولیه است. در این فرایند میزان اجزای مختلف نسبت به یک عنصر پایدار که طی هوازدگی غلظت آن تغییری نداشته باشد سنجیده می‌شود. این درصد تغییرات به صورت زیر تعریف شده است [۶]:

$$\% \text{change} = [(R_W - R_P)/R_P] \cdot 100$$

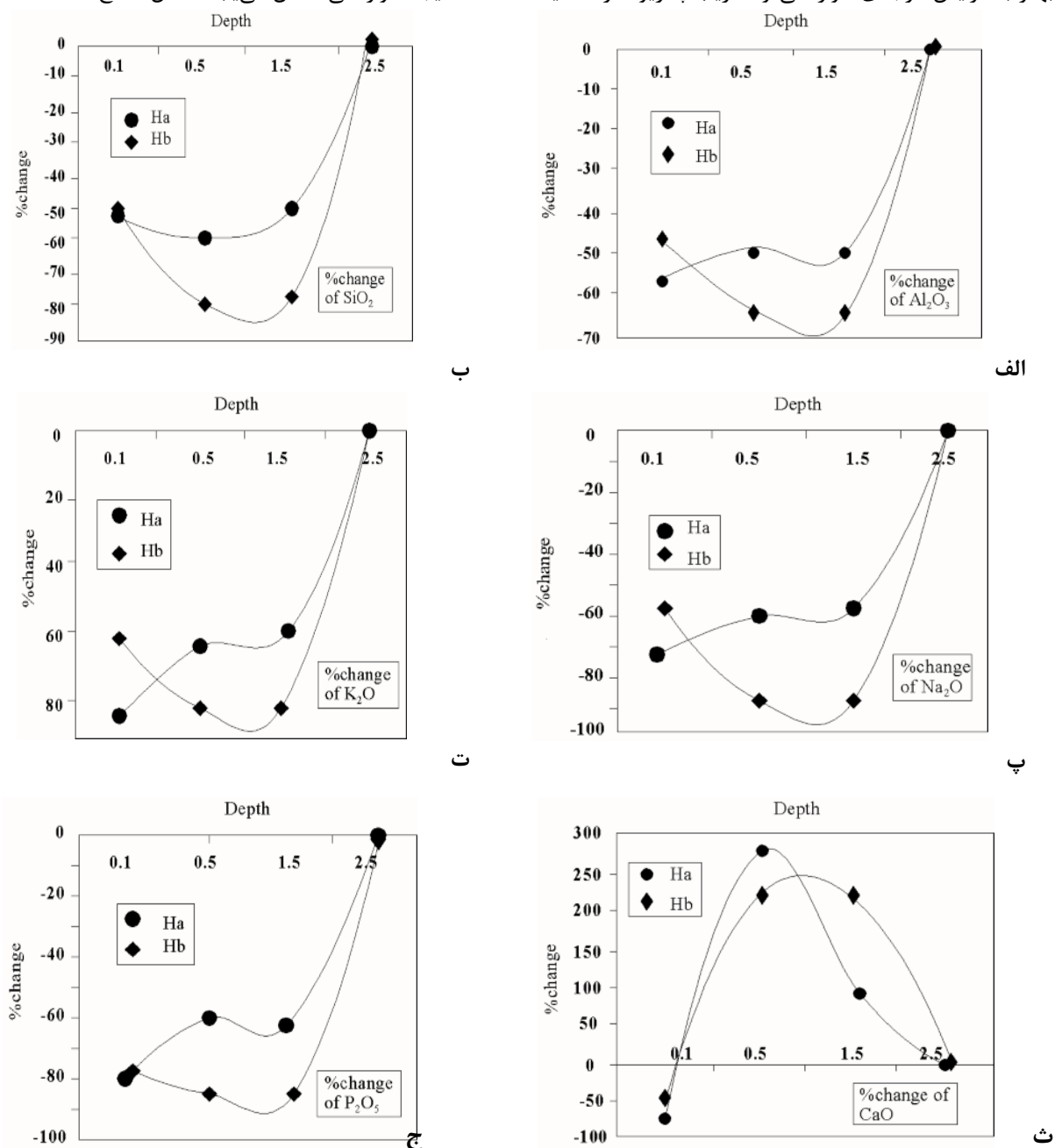
که در آن R_W این نسبت را در نمونه‌ی هوازده و R_P همان نسبت را در نمونه‌ی سالم نشان می‌دهد، و غلظت عنصر نامتحرك و پایدار در مخرج کسر قرار می‌گیرد. به طور معمول عناصری چون Zr, Hf, Ti, Nb به عنوان عناصر خنثی در نظر گرفته می‌شوند. از آنجا که در این کار پژوهشی غلظت Ti تغییر زیادی نشان نداده است، لذا بدین منظور از این عنصر استفاده می‌شود.

بررسی تغییرات TiO_2 , Al_2O_3 , SiO_2

اکسیدهای Al و Ti در pH بین ۲ و ۴ فاز نامحلول محسوب می‌شوند [۷]. در گستره‌ی pH ۴ تا ۹، Ti^{4+} و Al^{3+} می‌توانند به

کلسیم آزاد شده و با محلول‌ها انتقال می‌یابد، البته پس از آنالیز XRD مشخص شد که یکی از کانی‌های مهم حاصل از دگرسانی کلسیت است. (شکل ۳-ت).

محتوای P_2O_5 در ساپرولیت نسبت به گرانیت هوانزده کاهش یافته است که می‌تواند نشانه‌ی انتقال آن از محیط باشد. بررسی آپاتیت‌های اولیه در یک نیمرخ هوازدگی نشان داد که حدود ۸.۸۵٪ فسفر در گرانیت هوانزده حضور دارد و در نتیجه هوازدگی انتقال می‌یابد (شکل ۳-ج) [۱۰].



شکل ۳ درصد تغییرات مقادیر TiO_2 , Al_2O_3 , SiO_2 , Na_2O , K_2O , CaO , P_2O_5 و Hb در اعمق مختلف در واحد متر.

بررسی دو نیمرخ هوازدگی نشان می‌دهد که در CaO/TiO_2 بخش‌های فوکانی و نزدیک به سطح نسبت به نمونه‌ی هوانزده کاهش یافته ولی به سمت عمق افزایش چشمگیری از خود نشان می‌دهد. این افزایش احتمالاً می‌تواند به علت انتقال عناصری چون سدیم و پتاسیم از زون ساپرولیتی باشد، که باعث نفوذ کلسیم به این قسمت بخش از نیمرخ شده است. این عنصر معمولاً باید به سمت بالای نیمرخ کاهش یابد، به عبارت بهتر با افزایش درجه‌ی هوازدگی و تخریب پلازیوکلاز کلسیک.

Depth

الف

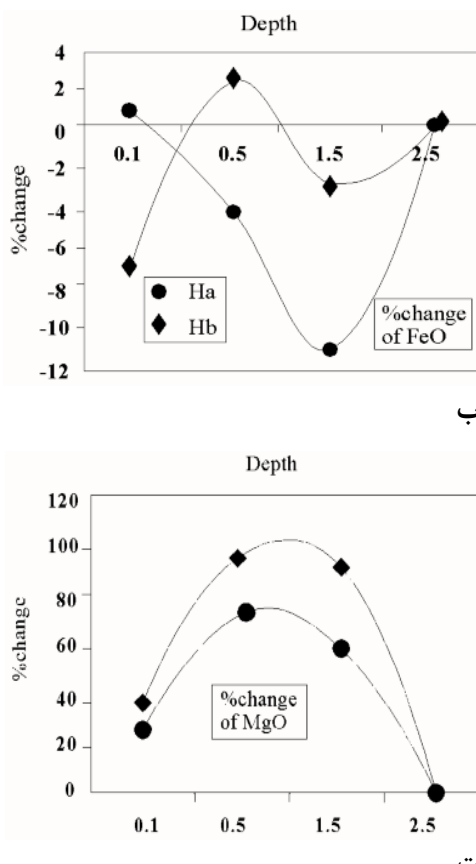
ب

ت

پ

ج

یون نیز همسان است [۸]، بنابراین در نمونه‌های مورد بررسی همراه با Ca افزایش می‌یابد (شکل ۵-الف)، عنصر Sr در نزدیکی سطح زمین همانند یون Ca کمی کاهش نشان می‌دهد. گرانیت‌ویدهایی که از کلسیم بالایی برخوردارند، بیشتر از نوع گرانودیوریت‌ها و کوارتزدیوریت‌هایی هستند که معمولاً دارای باریم زیادی نیز هستند. Ba در طول هوازدگی افزایش و کاهش نشان می‌دهد که این حالت‌ها بستگی به آب و هواء، نوع کانی‌های رسی، مواد آلی و میزان سولفور و سولفات دارد. هوازدگی در شرایط خشک بیابانی اغلب باعث غنی‌شدگی فراوردهای هوازد از Ba می‌شود [۱۱]. غلظت هر دو عنصر Rb و Ba در نهشته‌های هوازد نسبت به سنگ مادر کاهش نشان می‌دهند (شکل ۵-ب و پ)، زیرا این دو یون به شباخت داشته و می‌توان گفت از رفتار آن پیروی می‌کنند، همچنین در گروه عناصر لیتوفیل با شدت میدان پایین که طی دگرسانی متحرک‌کاند، قرار می‌گیرند. ولی باریم بهطور کلی تغییر زیادی از خود نشان نمی‌دهد و در گستره‌ی نزدیک به سنگ بستر قرار می‌گیرد.



شکل ۴ درصد تغییرات مقادیر MgO , FeO , Fe_2O_3 , $\text{Fe}_2\text{O}_3^{\text{t}}$ در نیمخرهای هوازد Ha و Hb در اعماق مختلف در واحد متر.

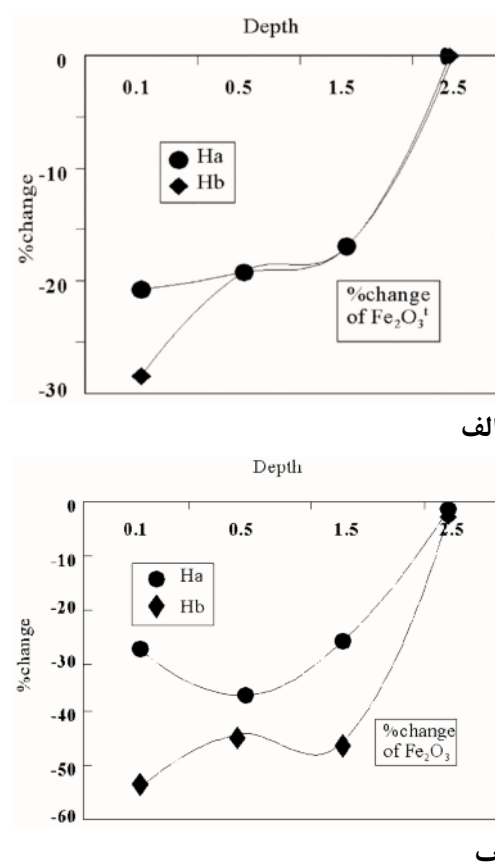
بررسی تغییرات MgO , Fe_2O_3

فراوانی آهن به صورت $\text{Fe}_2\text{O}_3^{\text{t}}$ در نمونه‌های هوازد و استه به هر دو نیمخر به مقدار موجود در سنگ بستر بسیار نزدیک است (شکل ۴-الف). این شباهت می‌تواند دلیلی بر تحرک ناچیز این یون طی فرایند هوازدگی باشد، که البته FeO در مقایسه با $\text{Fe}_2\text{O}_3^{\text{t}}$ کاهش بسیار کمتری را نسبت به سنگ مادر از خود نشان می‌دهد (شکل ۴-ب). میزان $\text{Fe}_2\text{O}_3^{\text{t}}$ بهطور کلی در نمونه‌ها نسبت به سنگ مادر کاهش یافته است ولی در کل لازم به یادآوری است که Fe^{2+} در مقایسه با Fe^{3+} تغییر و تحرک کمتری را نشان می‌دهد (شکل ۴-پ).

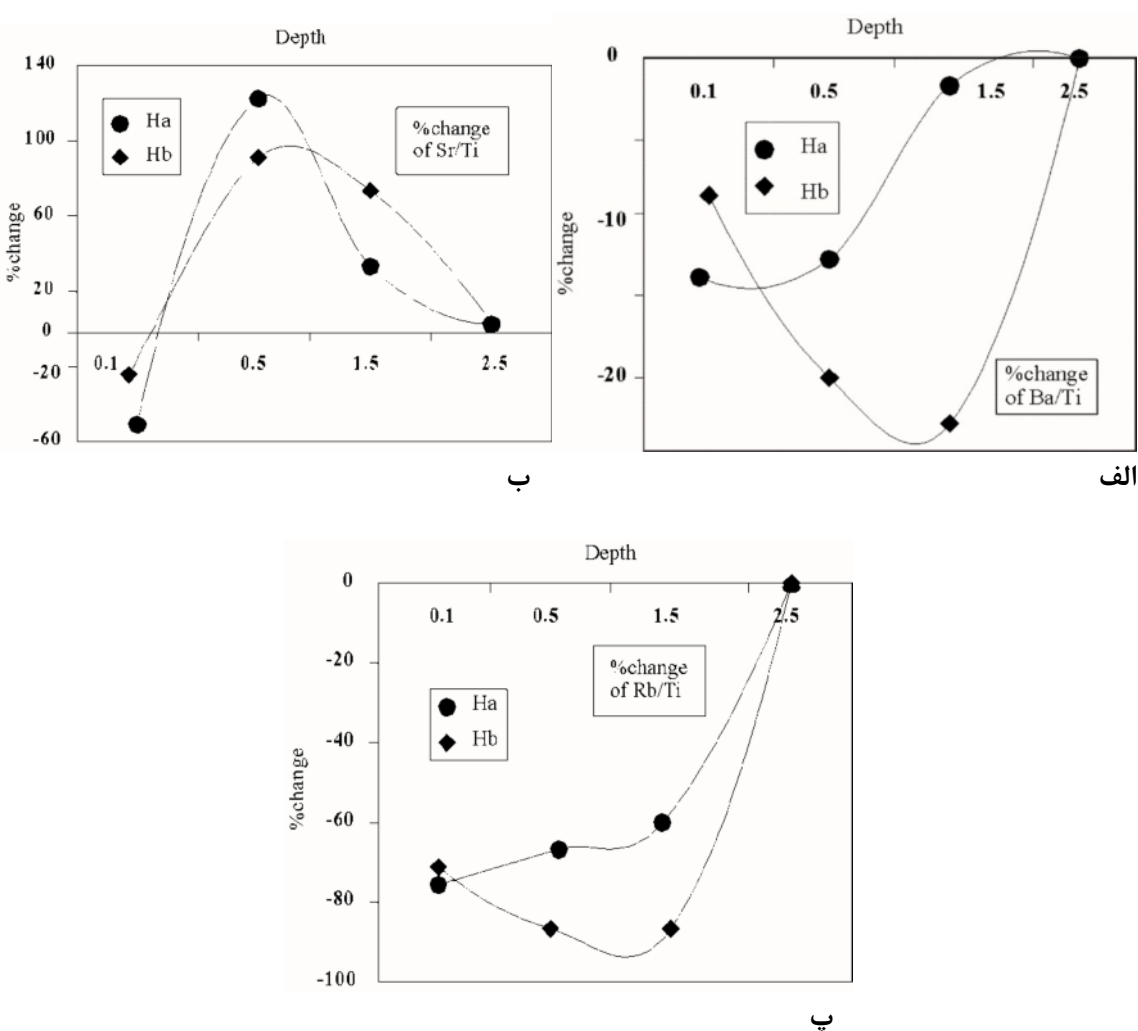
نسبت MgO/TiO_2 در بخش‌های میانی مقطع حدود ۶۰-۷۰٪ افزایش ولی به سوی عمق کاهش می‌یابد (شکل ۴-ت).

روبیدیم، باریم و استرانسیم

به علت پتانسیل یونی نسبتاً یکسان Sr^{2+} و Ca^{2+} رفتار این دو



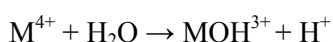
شکل ۴ درصد تغییرات مقادیر MgO , FeO , Fe_2O_3 , $\text{Fe}_2\text{O}_3^{\text{t}}$ در نیمخرهای هوازد Ha و Hb در اعماق مختلف در واحد متر.



شکل ۵ درصد تغییرات عناصر Ba, Rb, Sr در اعمق مختلف در واحد متر.

Ti/Nb و Ti/Ta در نمونه‌های مورد بررسی نشان داد که این عناصر در طول نیمرخ نسبت به سنگ بستر کاهش یافته‌اند و در اعمق تغییر چندانی از خود بروز نداده‌اند (شکل ۶-الف و ب).

زیرکونیوم و هافنیوم
هیدرولیز کاتیون‌های Zr⁴⁺ و Hf⁴⁺ که بیشتر در کانی زیرکن متتمرکز می‌شود، در محلول‌های شدیداً اسیدی بنابر معادله زیر رخ می‌دهد [۸]:



بررسی‌هایی که روی نیمرخ‌های جدید هوازده صورت گرفته نشان می‌دهد که زیرکونیوم و هافنیوم اساساً یون‌های غیر متحرکی هستند [۸]. در نیمرخ‌های هوازده موربد بررسی این دو عنصر در مقایسه با سنگ بستر کاهش داشته‌اند. Hf حدود ۱۰۰٪ کاهش نشان می‌دهد اما به‌طور کلی روند تغییر این

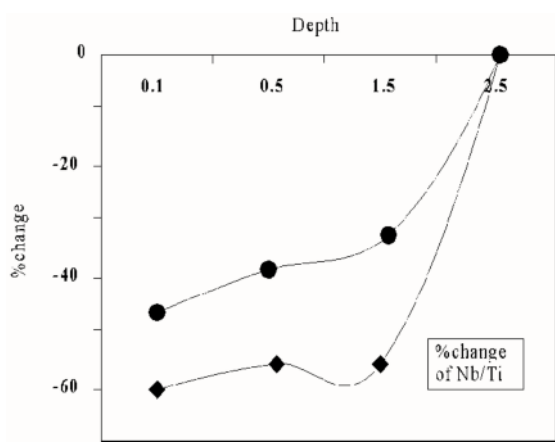
بررسی تغییرات در عناصر با قدرت میدان بالا (HFSE)^۱ این عناصر به علت مقاومت در برابر هوازدگی مورد توجه‌اند [۱۲]. تحرک این یون‌ها احتمالاً به واسطه‌ی وجود محلول‌های شدیداً اسیدی و یا هیدرولیز آن‌ها (MOH³⁺) صورت می‌گیرد.

تانتالیوم و نؤوبیوم
Nb⁵⁺ و Ta⁵⁺ به دلیل شعاع یونی نسبتاً یکسان با Ti⁴⁺ در بسیاری از کانی‌های این عنصر جایگزین می‌شود [۱۳]. بدین سبب کانی‌های تیتان‌دار مرحله‌ی تأخیری ماقمایی مانند روتیل و اسفن در گرانیتها حاوی مقدار زیادی Nb و Ta هستند [۸].

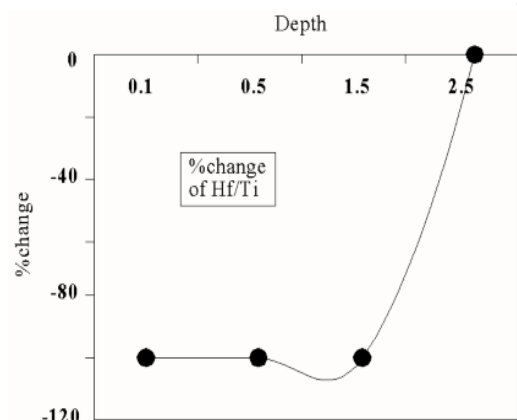
بر اساس تعادل جرمی، تخلخل و چگالی نیمرخ‌های هوازده تصور می‌شود که Nb غیر متحرک است [۱۴]، ولی نسبت‌های

1- High field strength elements

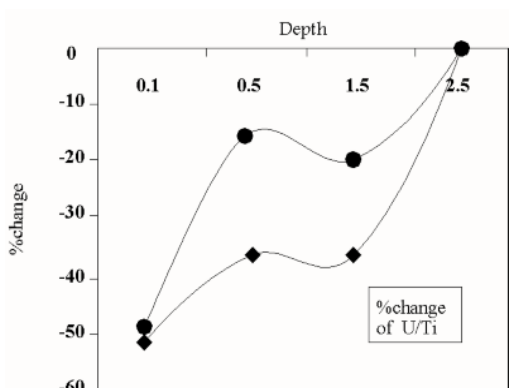
رس نیمرخ هوازده تجمع می‌یابد. در طول هوازده‌گی گرانودیوریت توروونگو $Y/25\%$ در مراحل اولیه از نمونه‌ها شسته شده است، و دوباره در زون‌های رسی همراه با آلومنینیوم تمکز یافته است، ولی ارتباط نزدیک این عنصر با Al نشان می‌دهد که بسیاری از ایتریم‌ها در محلول‌های هوازده آزاد شده و دوباره روی کانی‌های رسی جذب می‌شوند [۶] (شکل ۶-ث).



ب



ج

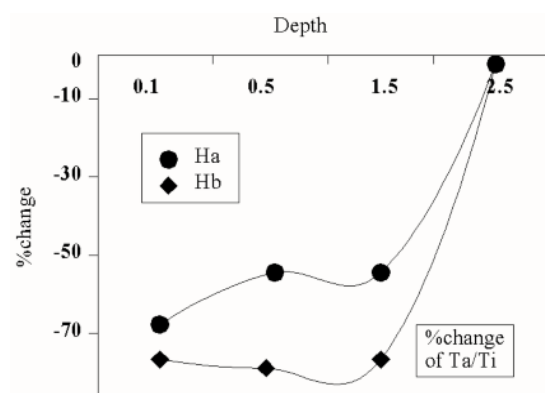


ج

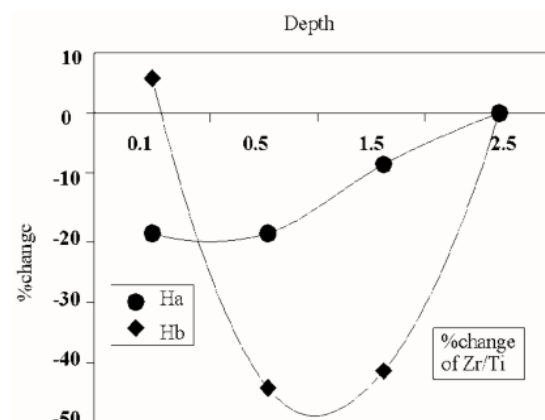
عنصر در دو نیمرخ بر هم منطبق بوده است. Zr نیز حدود 20% کاهش داشت ولی نسبت به Hf نوسان‌های بیشتری را نشان می‌دهد (شکل ۶-پ و ت).

ایتریم

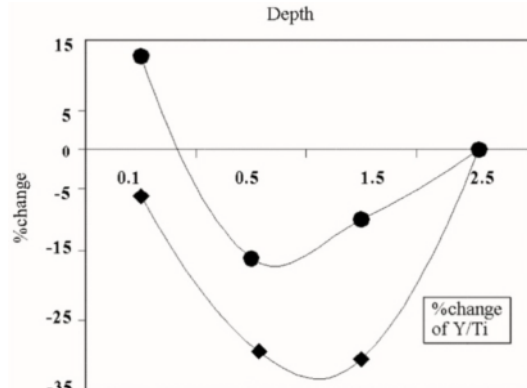
غلظت Y/Ti در فراورده‌های هوازده نسبت به سنگ هوانزده کاهش یافته است. به نظر می‌رسد که Y در بخش‌های غنی از



الف



پ



ث

شکل ۶ درصد تغییرات مقادیر عناصر U, Nb, Ta, Zr, Hf, Y, Hb در نمونه‌های هوازده Ha و Hb در اعمق مختلف در واحد متر.

محیط‌های هوازده گزارش شده است. در یکی از بررسی‌های انجام شده روی دلریت‌های جنوب شرق آفریقای جنوبی نشان داد که بر اساس آن نابهنجاری مثبت سریم در بخش‌های شدیداً اکسید شده و هوازده وجود دارد، دلریت‌های با درجهٔ کمتر هوازدگی، از Ce و REE's دیگر تهی شده‌اند [۱۷].

الگوی بهنجار شده عناصر نادر نسبت به کندریت، شب نزولی از خود نشان می‌دهد (شکل ۷ الف). به عبارت بهتر LREE نسبت به HREE غلظت بالاتری داشته و غلظت کل این عناصر در فراورده‌های هوازده نیز نسبت به سنگ بستر بیشتر است که این امر می‌تواند نتیجه‌ی جذب سطحی این عناصر در کانی‌های رسی و در نتیجه افزایش غلظت آن‌ها باشد. مسئله‌ی دیگری که بر اساس رابطه‌ی بالا می‌توان آن را به اثبات رسانید، تهی شدگی آشکار در Eu است. این تهی شدگی می‌تواند طی پدیده‌ی سربیستی شدن پلازیوکلاز و فلدسپات قایایی ایجاد شود. Eu²⁺ طی هوازدگی آزاد شده و وارد گرماییده شده و غلظت آن کاهش می‌یابد. نابهنجاری منفی این عنصر نیز می‌تواند گواهی بر شرایط احیایی باشد، زیرا در شرایط اکسایشی این عنصر می‌تواند به حالت ۳+ خود اکسید شود [۱۸].

نسبت $_{\text{N}}(\text{La}/\text{Sm})$ در نمونه‌های هوازده نسبت به سنگ هوازده افزایش نشان می‌دهد، ولی در فراورده‌های هوازده تغییر زیادی نداشته است. به عبارت دیگر غلظت LREEs بیشتر از MREE's^۵ است و این نسبت در سنگ بستر کمتر از فراورده‌های هوازده است، ولی نسبت $_{\text{N}}(\text{Gd}/\text{Yb})$ حالت عکس را نشان می‌دهد یعنی این نسبت در سنگ بستر در قیاس با مواد هوازده MREE's بیشتر است، بدین معنی که در سنگ بستر غلظت HREE's از MREE's است. البته این نتایج در الگوی بهنجار شده عناصر نادر نسبت به کندریت قابل روئیت است (شکل ۷ ب). نسبت $_{\text{N}}(\text{La}/\text{Yb})$ نیز در سنگ مادر بیشتر از فراورده‌هاست، که نشان دهنده‌ی غنی شدگی LREE's نسبت به HREE's در نمونه‌ی هوازده است. به طور کلی الگوی استاندارد این عناصر در نمونه‌های سالم و هوازده از یکدیگر پیروی می‌کنند.

1- Middle rare earth elements

توریوم و اورانیوم

میزان اورانیوم در مقایسه با توریوم نسبت به نمونه‌ی هوانزده کاهش می‌یابد. هوازدگی کانی‌های اورانیوم‌دار در شرایط اکسایشی باعث اتحلال و انتقال اورانیوم از سیستم و تبدیل U^{4+} به حالت بسیار محلول U^{6+} می‌شود [۸].

در مقطع مورد بررسی اورانیوم از این فرضیه پیروی کرده و در فراورده‌های هوازده نسبت به سنگ مادر مقدار منفی نشان می‌دهد که دلیل بر انتقال اورانیوم به صورت U^{6+} (دلیل حلایت بالا) از سیستم است (شکل ۶-ج).

عناصر نادر خاکی

عناصر نادر خاکی سه ظرفیتی به دلیل شعاع یونی نسبتاً بزرگ تمایل دارند که به صورت انتخابی با لیگاندهای الکترونگاتیو مانند اکسیژن و فلورین همبافت‌هایی را تشکیل بدنهند.

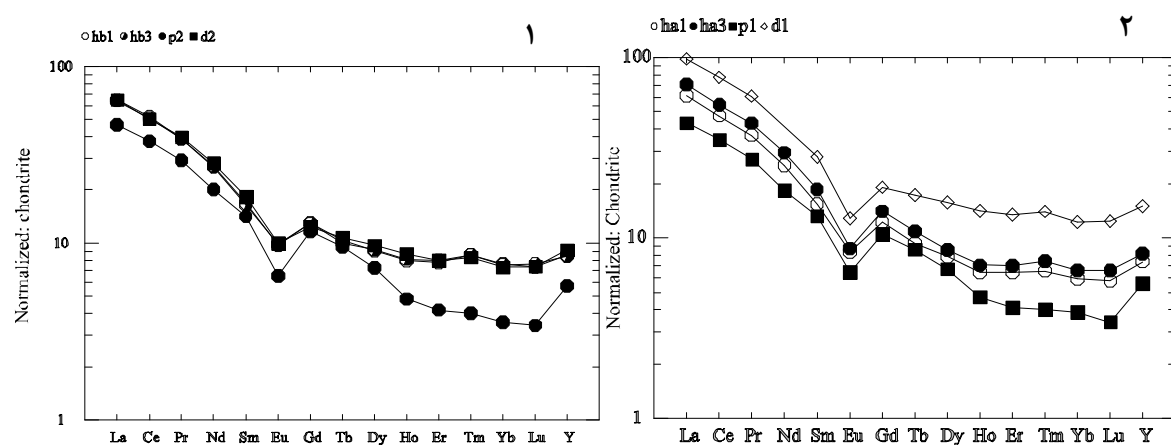
بررسی‌های سیستماتیکی که روی عناصر نادر خاکی صورت گرفته [۱۳-۱۵] ثابت کرده است که این عناصر در جریان هوازدگی تحرك و جدایی می‌یابند. همچنین مدلی برای توزیع REE's در گرانوڈیوریت هوازده تورونگو ارائه شده که بر اساس آن این عناصر در نتیجه‌ی واکنش با آبهای اسیدی از کانی‌های اولیه آزاد می‌شوند [۱۷].

جدایش 3 LREE از 4 HREE به کانی‌شناسی سنگ بستر بستگی دارد. بین عناصر این گروه Eu و Ce رفتار متفاوتی از خود نشان می‌دهند، و سریم و یوروپیم علاوه بر ظرفیت ۳ متناسب با شرایط احیا و اکسایش به ترتیب دارای ظرفیت ۴ و ۲ نیز هستند. پس از محاسبه‌ی نابهنجاری یوروپیم با استفاده از رابطه $\text{Eu}^*/\text{Eu} = \text{Eu}^*/(\text{Sm})_{\text{N}}(\text{Gd})_{\text{N}}$ این نتیجه حاصل شد که این عنصر در تمام نمونه‌ها، نابهنجاری منفی با مقادیری بین ۰,۵۱ تا ۰,۵۷ نشان می‌دهد و تغییر زیادی نسبت به سنگ مادر ندارد.

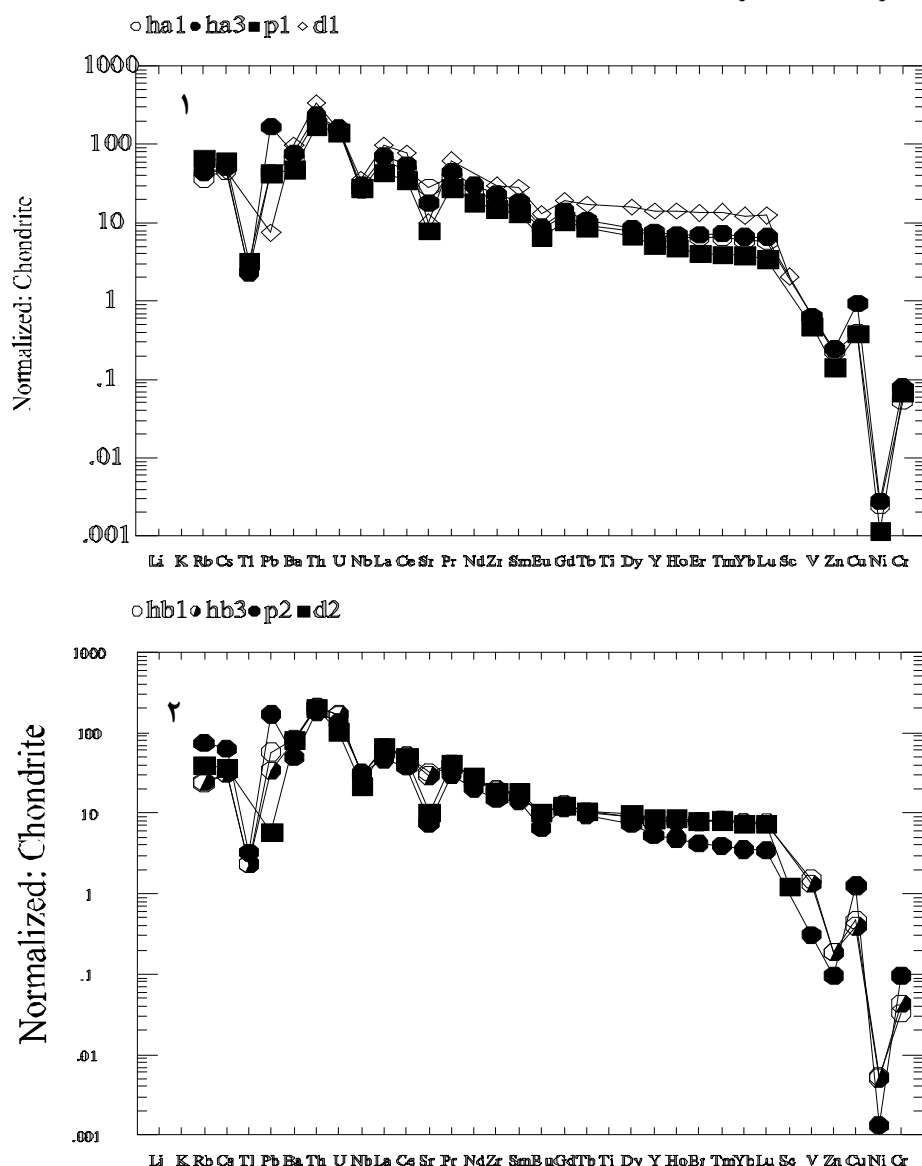
سریم نیز با استفاده از رابطه $\text{Ce}/\text{Ce}^* = (\text{Ce})_{\text{N}} / (\text{La})_{\text{N}}^{0,666} (\text{Nd})_{\text{N}}^{0,333}$ نابهنجاری مثبت بسیار کمی نشان داد که با توجه به فرایند هوازدگی امری عادی است و دلالت بر شرایط اکسایش دارد [۶]. نابهنجاری مثبت Ce از بسیاری از

1 -Light rare earth elements

2 - Heavy rare earth elements



شکل ۷ (الف) ۱ و ۲) نمودار عناصر نادر خاکی بهنجار شده نسبت به کندریت در دو نیمرخ مورد بررسی، بیانگر شیب نزولی، تهی شدگی در یوروپیم و کاهش غلظت از LREEs به طرف HREEs.



شکل ۷ (ب) ۱ و ۲) نمودار چند عنصری بهنجار شده به کندریت در دو نیمرخ Hb و Ha (تیلور و مک لان ۱۹۸۵) [۲۰]. نمونه ها مطابق جدول ۱ مشخص شده است.

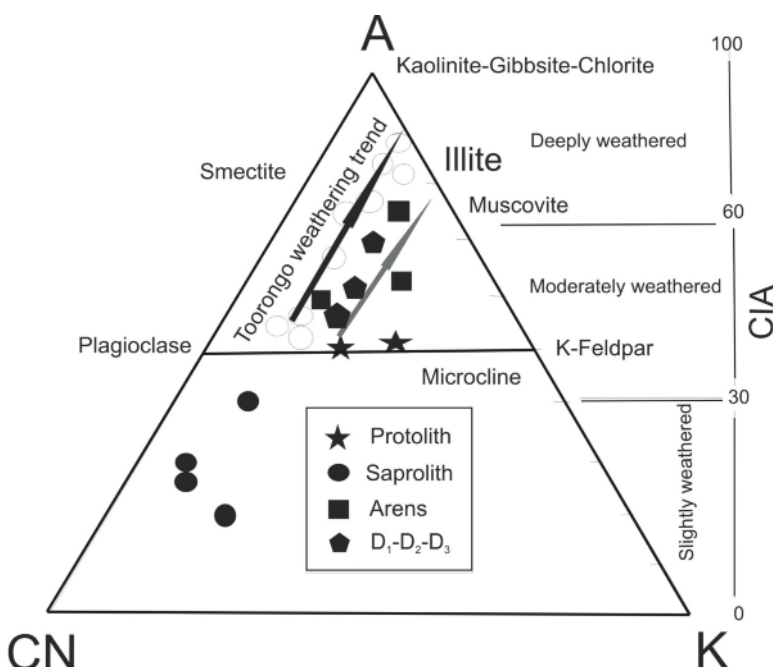
CN نزدیک شده است، این بدان معناست که فرآیند هوازدگی به عنوان عاملی در جهت افزایش کلسیم نقش داشته است. این افزایش کلسیم باعث کاهش مقدار شاخص دگرسانی و شاخص هوازدگی می‌شود و نتیجه‌ای معکوس ایجاد می‌کند، زیرا معمولاً CIA(Chemical Index of Weathering) و CIA(Chemical Index of Alteration) با افزایش نرخ هوازدگی می‌باشد و لی نمونه‌های مورد بررسی کاهش نشان می‌باشد افزایش یابد ولی نمونه‌های آذربین را می‌توان روی می‌دهند (شکل ۸).

برداشت

کانی‌های اولیه‌ی نمونه‌های هوازدگی بیشتر شامل کوارتز، پلازیوکلاز (آلیت تا الیکوکلاز) و فلدسپار قلیایی (میکروکلین)، مسکویت و بیوتیت است. علاوه بر این، کانی‌های دیگری چون کلینوکلر، کلسیت، هالویسیت و مونت موریلوبنیت، زیرکن، آپاتیت و اسفن وجود دارد. در این منطقه پیشرفت نرخ هوازدگی با غنی‌شدگی در Ca, Sr, Mg و مونت موریلوبنیت، زیرکن، Al, Fe, Na, K, P, Ba, Rb, Hf, Zr, Ta

A-CN-K

بررسی‌های تجربی نشان می‌دهند که کلسیم، سدیم و پتاسیم در نتیجه‌ی انحلال فلدسپات‌ها آزاد می‌شوند [۱۹]. مراحل ابتدایی هوازدگی با تهی‌شدگی نمونه‌های هوازدگی از Na₂O CaO, K₂O مشخص می‌شود، در حالی که مراحل پیشرفته‌ی هوازدگی با حرکت پتاسیم در اثر تشکیل کائولینیت یا گیبسیت شناسایی می‌شود. هوازدگی سنگ‌های آذرین را می‌توان روی نمودار سه تایی Al₂O₃-(CaO*+Na₂O)-K₂O تصویر کرد. در این نمودار معمولاً پیشرفت هوازدگی در راستای ضلع A-CN قرار می‌گیرد [۶]. ترسیم داده‌های وابسته به دو نیمرخ هوازدگی مورد بررسی همراه با نمونه‌های آرن منطقه‌ی مورد بحث روی این نمودار نشان می‌دهد که موقعیت تمام آن‌ها در قطب مخالف K₂O قرار می‌گیرند، به عبارتی در نتیجه‌ی هوازدگی، این اکسید از منطقه خارج شده است. چنانکه اشاره شد روند نمونه‌ها تقریباً در راستای A-CN قرار می‌گیرد، ولی نکته‌ی جالب توجه این است که نمونه‌های وابسته به عمق در زیر خط فلدسپات ترسیم می‌شود، یعنی موقعیت آن‌ها به قطب



شکل ۸ نمودار A-CN-K، در این نمودار موقعیت سنگ مادر روی ضلع فلدسپات قرار می‌گیرد. روند هوازدگی در راستای موازی با ضلع A-CN است همانگونه که این روند در گرانوودیوریت تورونگو مشخص شده است. موقعیت نمونه‌های آرن و نمونه‌های سطحی منطقه‌ی مورد بررسی در نیمه‌ی بالایی مثلث قرار گرفته در حالی که نمونه‌های وابسته به عمق بیشتر در نیمه‌ی دوم قرار گرفته است. داده‌های وابسته به نیمرخ هوازدگی گرانوودیوریت تورونگو واقع در استرالیا نیز برای مقایسه از نظر روند هوازدگی بر این نمودار تصویر شده است [۶].

- Possible evidence for chemical weathering on the early earth. *Precam. Res.*, 80, (1996) 49-76
- [8] Panahi A., M. Young Grant, H. Rainbird Robert, "Behavior of major and trace elements (including REE) during Paleoproterozoic pedogenesis and diagenetic alteration of an Archean granite near Ville Marie", Quebec, Canada: Pergamon, v. 64, (1999) 2199-2220
- [9] Wilson M. J., "Clay Mineralogy: Spectroscopic and Chemical Determinative Methods". Chapman and Hall. (1994) 256p.
- [10] Banfield J.F., Eggleton, R.A., "Apatite replacement and rare earth mobilization, fractionation, and fixation during weathering, Clays and Clay Minerals", v. 37, (1989) 113-127
- [11] Correns C.W., Shaw D.M., Turekian K.K., Zemann J., "Handbook of geochemistry", Springer-Verlag, Berlin Heidelberg New York, v. 2, 4, 5
- [12] Middelburg J.J., Van der Weijden C.H., Woittiez J.R.W., "Chemical processes affecting mobility of major, minor and trace elements during weathering of granitic rocks", *Chemical Geology* v. 68, (1988) 253-273
- [13] Deer W. A., Howie R. A., Zussman J., "An Introduction to the Rock-Forming Minerals". Longman Scientific & Technical, (1966) 528p.
- [14] Brimhall G. H., W. E. Dietrich, "Constitutive mass balance relations between chemical composition, volume, density, porosity, and strain in metasomatic hydrochemical systems: Results on weathering and pedogenesis", *Geochim. Cosmochim. Acta*. 51 (1987), 567-587.
- [15] Duddy I. T., "Redistribution and fractionation of rare earth and other elements in a weathered profile", *Chem. Geol.* 30, (1980) 363-381.
- [16] Nesbitt H.W., "Mobility and fractionation of rare earth elements during weathering of a granodiorite", *Nature* 279, (1979) 206-210
- [17] Marsh J. S., "REE fractionation and Ce anomalies in weathered Karoo dolerite", *Chem. Geol.* 90, (1991) 189-194.
- [18] Sverjensky D.A., "Europium redox equilibria in aqueous solution", *Earth Planet. Sci. Let.* v. 67 (1984) 70-78
- [19] Wollast R., Chou L., "Surface reactions during the early stages of weathering of albite", *Geochim. Cosmochim. Acta*. 56, (1992) 3113-3123.
- [20] Taylor S.R., McLennan S.M., "The continental crust: its composition and evolution", (1985) Blackwell, Oxford.

افزایش میزان H_2O (بعثت تشکیل کانی‌های ثانویه آبداری چون کلینوکلر، مسکوبیت، هالویست، مونت موریلونیت) و کاهش در Na نشان دهنده فرآیندهای اکسایش، آبدار کردن و شستشو (Leaching) طی هوازدگی است.

سرعت هوازدگی در پلازیوکلاز سدیم و پتاسیم در این منطقه به یک میزان بوده است، زیرا تهی‌شدگی در Na و K تا حدودی به یک مقدار است. وجود هالویست نیز به علت هوازدگی فلدسپات پتاسیم است.

افزایش منیزیم در ساپرولیت نسبت به نمونه‌ی هوائزده نشان دهنده نقش بارز بیوتیت است [۲]. در نمونه‌های (هوائزده و هوائزده) گرانیت‌وییدی منطقه‌ی ده نو HREE's به LREE's بستر غنی شدگی نشان می‌دهند، غلظت این عناصر در سنگ بستر کمتر از فراورده‌های هوائزده است، بر این اساس عناصر نادر طی هوازدگی در ساپرولیت تجمع یافته‌اند. تهی‌شدگی آشکار به Eu دلیل دگرسانی فلدسپات است، زیرا بوروپیم طی دگرسانی از فلدسپات‌ها آزاد شده و وارد گرمابی‌ها می‌شود و نابهنجاری منفی در Eu ایجاد می‌کند.

مراجع

- [1] Raguin E., "Geology of Granite", Interscience Publishers a Division of John Wiley & Sons, (1965) 314 p.
- [2] Islam M.R., Peuraniemi V., Aario R., Rojstaczer S., "Geochemistry and mineralogy of saprolite in Finnish Lapland", *Applied Geochemistry*, v. 17, (2001) 885-902
- [۳] سهیلی م., جعفریان م., عبدالهی م., "نقشه زمین شناسی الیگودرز ۱/۱۰۰۰۰", سازمان زمین شناسی کشور
- [۴] رجاییه م., "پترولوزی و ژئوشیمی توده‌ی نفوذی ده نو (شمال شرق الیگودرز)", پایان نامه کارشناسی ارشد، دانشگاه اصفهان، (۱۳۸۴) ۱۳۰ ص.
- [5] Middlemost E. A. K., "Magmas and Magmatic rocks, An Introduction to Igneous Petrology", Longman ED; (1987) 453 p
- [6] Nesbitt H. W., Markovics G. "Weathering of granodioritic crust, long-term storage of elements in weathering profiles, and petrogenesis of siliciclastic sediments". *Geochim. Cosmochim. Acta*. 61 (1997) 1653-1670.
- [7] Sugitani K., Horiuchi Y., Adachi M., Sugisaki R., "Anomalously low Al_2O_3/TiO_2 values for Archean cherts Pilbara Block", Western Australia-